

зависящей от  $h$ , что

$$\|y^h\|_{(1)} \leq M \| \varphi \|_{(2)} \quad \text{при любых } h \leq h_0.$$

Данное выше определение корректности разностной схемы аналогично определению корректности задачи для дифференциального уравнения, с которым мы неоднократно встречались в курсе. Различие между этими определениями состоит в требовании равномерной по  $h$  устойчивости решения разностной задачи.

## § 2. Разностные схемы для уравнения теплопроводности

### 1. Схемы для уравнения с постоянными коэффициентами.

Рассмотрим первую краевую задачу для уравнения теплопроводности:

найти непрерывную в прямоугольнике  $\bar{D}$  ( $0 \leq x \leq 1$ ,  $0 \leq t \leq T$ ) функцию  $u = u(x, t)$ , удовлетворяющую условиям:

$$\left. \begin{aligned} \frac{\partial u}{\partial t} &= \frac{\partial^2 u}{\partial x^2} + f(x, t), & 0 < x < 1, & \quad 0 < t \leq T, \\ u(x, 0) &= u_0(x), & u(0, t) &= u_1(t), & \quad u(1, t) = u_2(t). \end{aligned} \right\} \quad (1)$$

Введем в  $\bar{D}$  описанную в § 1 сетку  $\bar{\omega}_{h\tau} = \bar{\omega}_h \times \bar{\omega}_\tau = \{(x_i = ih, t_j = j\tau), i = 0, 1, \dots, N, j = 0, 1, \dots, N_0\}$  с шагами  $h = 1/N$ ,  $\tau = T/N_0$ . Проводя замену

$$\begin{aligned} \left(\frac{\partial^2 u}{\partial x^2}\right)_i &\sim (u_{\bar{x}\bar{x}})_i = \frac{u_{i-1} - 2u_i + u_{i+1}}{h^2}, \\ \left(\frac{\partial u}{\partial t}\right)^{j+1} &\sim \frac{u^{j+1} - u^j}{\tau} = u_i^{j+1}, \quad f \sim \varphi \end{aligned}$$

и вводя произвольный вещественный параметр  $\sigma$  (вес верхнего слоя  $t = t_{j+1}$ ), получим однопараметрическое семейство схем

$$\begin{aligned} \frac{y_i^{j+1} - y_i^j}{\tau} &= \Lambda(\sigma y_i^{j+1} + (1 - \sigma)y_i^j) + \varphi_i^{j+1}, \\ j &= 1, 2, \dots, N_0, \quad i = 1, 2, \dots, N - 1, \end{aligned} \quad (2)$$

где  $\Lambda y_h = y_{\bar{x}\bar{x}, i}$ .

Схема (2) определена на шеститочечном шаблоне, состоящем из узлов  $(x_{i+s}, t_{j+k})$  ( $s = -1, 0, 1; k = 0, 1$ ), расположенных на двух слоях  $t = t_j$  и  $t = t_{j+1}$  (рис. §5, а). Поэтому схему (2) часто называют двухслойной шеститочечной схемой или схемой с весами.

Поскольку в (2) входит произвольный параметр  $\sigma$ , то фактически мы рассматриваем не одну схему, а однопараметрическое

семейство схем. В дальнейшем будет показано, что с помощью параметра  $\sigma$  можно управлять устойчивостью и точностью схемы (2). Так как схема (2) пишется одинаково во всех внутренних (при  $1 < i < N, j > 0$ ) узлах  $(x_i, t_j)$  сетки  $\omega_{h\tau}$ , то индексы  $i, j$  можно опустить и пользоваться безындексными обозначениями, полагая

$$y = y_i^{i+1}, \quad \check{y} = y_i^j, \quad y_{\check{i}} = \frac{y - \check{y}}{\tau}, \quad \varphi = \varphi_i^{i+1}.$$

В этих обозначениях схему (2) перепишем в виде

$$y_{\check{i}} = \Lambda(\sigma y + (1 - \sigma)\check{y}) + \varphi, \quad (x, t) \in \omega_{h\tau}. \quad (3)$$

Присоединяя сюда начальные и краевые условия

$$\begin{aligned} y(x, 0) &= u_0(x), & x &\in \bar{\omega}_h, \\ y(0, t) &= u_1(t), & y(1, t) &= u_2(t), & t &\in \bar{\omega}_\tau, \end{aligned} \quad (4)$$

получаем разностную задачу (3)–(4), соответствующую задаче (1). Требуется найти сеточную функцию  $y(x, t)$ , определенную для  $(x, t) \in \bar{\omega}_{h\tau}$  и удовлетворяющую уравнению (3) во внутренних узлах  $\omega_{h\tau} = \{(x_i, t_j), 0 < i < N, 0 < j \leq N_0\}$ , а в граничных узлах  $\gamma_{h\tau} = \{(x_i, t_j), i = 0, 0 \leq j \leq N_0; i = N, 0 \leq j \leq N_0; j = 0, 0 \leq i \leq N\}$  сетки  $\bar{\omega}_{h\tau}$  — условиям (4).

Для определения  $y = y^{i+1}$  из (3) и (4) получаем задачу

$$\begin{aligned} \sigma\gamma y_{i-1} - (1 + 2\sigma\gamma)y_i + \sigma\gamma y_{i+1} &= -F_i, & 0 < i < N, \\ y_0 &= u_1, & y_N &= u_2, \end{aligned}$$

$$F_i = (1 - 2\gamma(1 - \sigma))\check{y}_i + (1 - \sigma)\gamma(\check{y}_{i-1} + \check{y}_{i+1}) + \tau\varphi_i, \quad \gamma = \frac{\tau}{h^2}.$$

Значения  $\check{y} = y_i^j$  и, следовательно,  $F_i$  на нижнем слое (при  $t = t_j$ ) известны. Счет идет от слоя  $j$  к слою  $j + 1$ , начиная с  $j = 0$ , при котором задано  $y^0 = u_0(x)$ .

При  $\sigma = 0$  получаем явную схему (см. § 1, п. 2). Для нее  $y_i = F_i$ , т. е. значения  $y$  определяются независимо в каждом узле сетки  $\omega_h$ . При  $\sigma \neq 0$  для определения  $y$  получаем систему алгебраических уравнений порядка  $N - 1$  (такие схемы называются неявными). Метод решения этой системы, учитывающий специальный вид (трехдиагональность ее матрицы, у которой отличны от нуля только элементы, стоящие вдоль главной диагонали и двух соседних с нею диагоналей), указан в п. 10.

**2. Погрешность аппроксимации.** Пусть  $y = y(x, t)$  — решение задачи (3) — (4),  $u = u(x, t)$  — решение исходной задачи (1). Рассмотрим разность  $z_i^{i+1} = y_i^{i+1} - u(x_i, t_{i+1})$  или  $z = y - u$  и подставим  $y = z + u$  в уравнение (3). Предполагая  $u =$

$= u(x, t)$  заданной функцией, найдем

$$\left. \begin{aligned} z_{\bar{i}} &= \Lambda(\sigma z + (1 - \sigma)\tilde{z}) + \psi, & (x, t) \in \omega_{h\tau}, \\ z(x, 0) &= 0, & z(0, t) = z(1, t) = 0, \end{aligned} \right\} \quad (5)$$

где

$$\psi = \Lambda(\sigma u + (1 - \sigma)\tilde{u}) + \varphi - u_{\bar{i}} \quad (6)$$

представляет собой погрешность, с которой решение  $u = u(x, t)$  уравнения (1) удовлетворяет разностному уравнению (3). Сеточная функция  $\psi = \psi(x, t, u; h, \tau, \sigma)$ , определяемая формулой (6), называется погрешностью аппроксимации дифференциального уравнения (1) разностным уравнением (3) в классе решений  $u = u(x, t)$  уравнения (1) (или «погрешностью аппроксимации для схемы (3) на решении уравнения (1)»).

Для оценки величины функции  $\psi$  мы будем пользоваться различными нормами (при фиксированном  $t \in \omega_{\tau}$ ), например:

$$\|\psi\|_c = \max_{1 < i < N} |\psi_{\bar{i}}|, \quad (7)$$

$$\|\psi\|_2 = \left( \sum_{i=1}^{N-1} h\psi_{\bar{i}}^2 \right)^{1/2}, \quad (8)$$

а также нормами

$$\max_{\omega_{\tau}} \|\psi\|_c, \quad \max_{\omega_{\tau}} \|\psi\|_2 \quad \text{и т. д.} \quad (9)$$

Будем говорить, что схема (3) имеет по норме  $\|\psi\|$   $m$ -й порядок аппроксимации по  $h$  и  $n$ -й по  $\tau$  на решении  $u = u(x, t)$  (аппроксимирует уравнение (1) с порядком  $(m, n)$ ) или просто имеет аппроксимацию  $O(h^m) + O(\tau^n)$ , если

$$\|\psi\| \leq M(h^m + \tau^n) \quad (m > 0, n > 0), \quad (10)$$

где  $M$  — положительная постоянная, не зависящая от  $h$  и  $\tau$ , а  $\|\cdot\|$  — некоторая норма (например, (7) или (8)).

Для оценки порядка  $\psi$  по  $h$  и  $\tau$  разложим  $u = u(x, t)$  в окрестности точки  $(x_i, \bar{t} = t_{j+1/2} = t_j + 0,5\tau)$  по степеням  $h$  и  $\tau$ . Будем предполагать, что  $u(x, t)$  имеет нужное по ходу изложения число производных. Обозначая  $\dot{u} = \frac{\partial u}{\partial t}$ ,  $u' = \frac{\partial u}{\partial x}$  и т. д.,  $u = u(x_i, t_{j+1})$ ,

$$\bar{u} = u(x_i, t_{j+1/2}), \quad \text{получим } \Lambda u = u'' + \frac{h^2}{12} u^{(IV)} + \dots \quad (\text{см. § 1, п. 1}),$$

$$u = \bar{u} + 0,5\tau\dot{\bar{u}} + \frac{\tau^2}{8}\ddot{\bar{u}} + O(\tau^3), \quad \dot{u} = \dot{\bar{u}} - 0,5\tau\ddot{\bar{u}} + \frac{\tau^2}{8}\ddot{\bar{u}} + O(\tau^3),$$

$$u_{\bar{i}} = \bar{u} + O(\tau^2).$$

Пользуясь разложениями для  $u$ ,  $\dot{u}$ ,  $\Lambda u$ , находим

$$\sigma u + (1 - \sigma) \dot{u} = \bar{u} + (\sigma - 0,5) \tau \bar{u}' + O(\tau^2)$$

$$\Lambda(\sigma u + (1 - \sigma) \dot{u}) = \sigma u'' + (1 - \sigma) \dot{u}'' + O(h^2) =$$

$$= \bar{u}'' + (\sigma - 0,5) \tau \bar{u}'' + O(h^2 + \tau^2).$$

Подставляя полученные выражения в (6), будем иметь

$$\psi = \bar{u}'' - \bar{u} + (\sigma - 0,5) \tau \bar{u}'' + \varphi + O(h^2 + \tau^2).$$

Так как  $u$  есть решение уравнения (1), то  $\bar{u}'' - \bar{u} = -\bar{f}$  и

$$\psi = \varphi - \bar{f} + (\sigma - 0,5) \tau \bar{u}'' + O(h^2 + \tau^2)^1.$$

Выбирая  $\varphi$  так, чтобы  $\varphi = \bar{f} + O(h^2 + \tau^2)$ , например  $\varphi = \bar{f}$ , если  $\bar{f} \in C^{(0)}$ , получаем

$$\psi = (\sigma - 0,5) \tau \bar{u}'' + O(h^2 + \tau^2). \quad (11)$$

Обозначим через  $C_n^m(\bar{D})$  класс функций, имеющих  $m$  производных по  $x$  и  $n$  производных по  $t$ , непрерывных в  $\bar{D}$ . Из предыдущего ясно, что

$$\|\psi\|_C = O(h^2 + \tau) \quad \text{при } \sigma \neq 0,5 \quad \text{и } u \in C_2^{(4)}, \quad (12)$$

$$\|\psi\|_C = O(h^2 + \tau^2) \quad \text{при } \sigma = 0,5 \quad \text{и } u \in C_3^{(4)}. \quad (13)$$

Выбирая параметр  $\sigma$  равным

$$\sigma = \sigma_* = \frac{1}{2} - \frac{h^2}{12\tau} \quad (14)$$

и правую часть

$$\varphi = \bar{f} + \frac{h^2}{12} \frac{\partial^2 \bar{f}}{\partial x^2}, \quad (15)$$

получим схему повышенного порядка аппроксимации  $\psi = O(h^4 + \tau^2)$ , если  $u \in C_3^{(6)}$ ,  $f \in C_1^{(2)}$ .

**3. Энергетическое тождество.** Чтобы выяснить, при каких значениях  $\sigma$  схема (2) устойчива по начальным данным и по правой части, найдем оценку решения разностной задачи (3) — (4) с однородными краевыми условиями ( $u_1 = u_2 \equiv 0$ ) через  $\varphi$  и  $u_0$ .

Для этого используем метод интегральных или энергетических соотношений, который без существенных изменений переносится на случай уравнений с переменными коэффициентами. Нам

<sup>1)</sup> Так как  $\bar{u}'' + \bar{f} - \bar{u} = 0$ , то (6) можно было бы сразу записать в виде  $\psi = [\Lambda(\sigma u + (1 - \sigma) \dot{u}) - \bar{u}'] + (\varphi - \bar{f}) - (u_i - \bar{u})$ .

<sup>2)</sup> К пп. 1, 2 см. В. К. Саульев, Интегрирование параболических уравнений методом сеток, Физматгиз, 1960.

потребуется небольшое число предварительных сведений. Пусть  $v(x) = v_i$ ,  $z(x) = z_i$  — произвольные функции, заданные на сетке  $\bar{\omega}_h = \{x_i = ih\}$ .

Имеют место следующие формулы:

1. *Формула разностного дифференцирования произведения*

$$(vz)_{x,i} = v_i z_{x,i} + v_{x,i} z_{i+1}. \quad (16)$$

В самом деле,  $v_i z_{x,i} + v_{x,i} z_{i+1} = [v_i(z_{i+1} - z_i) + (v_{i+1} - v_i)z_{i+1}]/h = (v_{i+1}z_{i+1} - v_i z_i)/h = (vz)_{x,i}$ . Формула (16) является разностным аналогом формулы дифференцирования произведения  $(uv)' = u'v + uv'$ .

2. *Формула суммирования по частям*

$$(v, z_x) = -(z, v_{\bar{x}}) + (vz)_N - v_0 z_1, \quad (17)$$

где

$$(v, w) = \sum_{i=1}^{N-1} v_i w_i h, \quad (v, w) = \sum_{i=1}^N v_i w_i h, \quad (18)$$

являющаяся разностным аналогом формулы интегрирования по частям.

Выразим из (16)  $v_i z_{x,i} = (vz)_{x,i} - v_{x,i} z_{i+1}$  и преобразуем сумму

$$\begin{aligned} (v, z_x) &= \sum_{i=1}^{N-1} v_i z_{x,i} h = \sum_{i=1}^{N-1} [(vz)_{i+1} - (vz)_i] h - \sum_{i=1}^{N-1} v_{x,i} z_{i+1} h = \\ &= (vz)_N - v_1 z_1 - \sum_{i=2}^N v_{\bar{x},i} z_i h \quad (v_{x,i} = v_{\bar{x},i+1}). \end{aligned}$$

Учитывая затем, что  $v_1 = v_0 + (v_1 - v_0) = v_0 + hv_{\bar{x},1}$ , получим

$$(v, z_x) = (vz)_N - (v_0 + hv_{\bar{x},1})z_1 - \sum_{i=2}^N z_i v_{\bar{x},i} h = (vz)_N - v_0 z_1 - (z, v_{\bar{x}}).$$

3. *Первая разностная формула Грина*

$$(v, (ay_{\bar{x}})_x) = -(ay_{\bar{x}}, v_{\bar{x}}) + ay_{\bar{x}} v|_N - v_0 a_1 y_{\bar{x}}|_1. \quad (19)$$

В самом деле, полагая в (17)  $z = ay_{\bar{x}}$ , сразу получим (19). Из (19), в частности, следует, что

$$(v, (ay_{\bar{x}})_x) = -(ay_{\bar{x}}, v_{\bar{x}}), \quad \text{если } y = v = 0 \text{ при } i = 0, N; \quad (20)$$

$$(y, (ay_{\bar{x}})_x) = -(a, (y_{\bar{x}})^2), \quad \text{если } y_0 = y_N = 0. \quad (21)$$

Формула (19) является разностным аналогом формулы Грина

$$\int_0^1 u (kw')' dx = kuw' \Big|_0^1 - \int_0^1 ku'w' dx.$$

## 4. Вторая разностная формула Грина

$$(v, (ay_{\bar{x}})_x) - (y, (av_{\bar{x}})_x) = a_N(vy_{\bar{x}} - yv_{\bar{x}})_N - a_1(vy_x - yv_x)_0 \quad (22)$$

получается из (19), если в (19) поменять местами  $y$  и  $v$  и вычесть из (19) полученное равенство.

Нам понадобится также неравенство

$$|(y, z)^i| \leq \sqrt{(y, y)^i (z, z)^i}, \quad (23)$$

где

$$(y, z)^i = \sum_{k=1}^i y_k z_k h, \quad i = 2, 3, \dots, N. \quad (24)$$

Рассмотрим сумму

$$(y + \lambda z, y + \lambda z)^i = (y, y)^i + 2\lambda (y, z)^i + \lambda^2 (z, z)^i \geq 0,$$

где  $\lambda$  — любое вещественное число.

Если  $(z, z)^i \neq 0$ , то  $(y + \lambda z, y + \lambda z)^i \geq 0$  при любых значениях  $\lambda$  только при условии, что дискриминант квадратного трехчлена  $[(y, z)^i]^2 - (y, y)^i \cdot (z, z)^i \leq 0$ . Отсюда и следует (23). В частности, при  $i = N$  получаем неравенство Коши — Буняковского

$$|(y, z)| \leq \|y\| \cdot \|z\|, \quad (25)$$

где  $(, )$  дается формулой (18), а  $\|y\|$  — норма сеточной функции  $y = y_i$ , равная

$$\|y\| = \sqrt{(y, y)} = \left( \sum_{i=1}^{N-1} y_i^2 h \right)^{1/2}. \quad (26)$$

Докажем следующие неравенства:

$$\|z\| \leq \frac{1}{2} \|z_{\bar{x}}\|, \quad \text{если } z_0 = z_N = 0, \quad (27)$$

$$\|z\|_c \leq \frac{1}{2} \|z_{\bar{x}}\|, \quad \text{если } z_0 = z_N = 0, \quad (28)$$

где  $\|z\|_c = \max_{0 < i < N} |z_i|$ ,  $\|z\|$  дается формулой (26), а

$$\|z_{\bar{x}}\| = (z_{\bar{x}}, z_{\bar{x}})^{1/2} = \left( \sum_{i=1}^N z_{\bar{x}, i}^2 h \right)^{1/2}.$$

Замечая, что  $z_i^2 = \left( \sum_{k=1}^i z_{\bar{x}, k} h \right)^2 = \left( \sum_{k=i+1}^N z_{\bar{x}, k} h \right)^2$ , представим  $z_i^2$

в виде

$$z_i^2 = (1 - x_i) \left( \sum_{k=1}^i z_{\bar{x}, k} h \right)^2 + x_i \left( \sum_{k=i+1}^N z_{\bar{x}, k} h \right)^2.$$

Применяя неравенство (23) для каждой из сумм, например:

$$\left(\sum_{k=1}^i z_{\bar{x}, k} h\right)^2 \leq \sum_{k=1}^i (z_{\bar{x}, k})^2 h \cdot \sum_{k=1}^i 1^2 h = x_i \sum_{k=1}^i (z_{\bar{x}, k})^2 h,$$

получим:

$$z_i^2 \leq x_i (1 - x_i) \left( \sum_{k=1}^i (z_{\bar{x}, k})^2 h + \sum_{k=i+1}^N (z_{\bar{x}, k})^2 h \right) = x_i (1 - x_i) \|z_{\bar{x}}\|^2. \quad (29)$$

Так как  $\max_{0 \leq x \leq 1} x(1-x) = \frac{1}{4}$ , то отсюда следует, что  $\|z\|_k \leq \frac{1}{2} \|z_{\bar{x}}\|$ .

Умножив (29) на  $h$  и просуммировав по  $i = 1, 2, \dots, N-1$ , будем иметь  $\|z\|^2 \leq \frac{1}{4} \|z_{\bar{x}}\|^2$  или  $\|z\| \leq \frac{1}{2} \|z_{\bar{x}}\|$ , так как  $\sum_{i=1}^{N-1} ih = (N-1)h < 1$ .

Пусть  $\Lambda v = (av_{\bar{x}})_x$ ,  $a \geq c_1 > 0$ . Из (21) и (27) следует оценка

$$-(\Lambda v, v) = -((av_{\bar{x}})_x, v) \geq 4c_1 \|v\|^2. \quad (30)$$

В самом деле,  $-(\Lambda v, v) = (a, (v_{\bar{x}})^2) \geq c_1 \|v_{\bar{x}}\|^2$  в силу (21). Пользуясь затем неравенством (27), получим (30).

Укажем еще одно неравенство:

$$2|ab| \leq c_0 a^2 + \frac{1}{c_0} b^2, \quad (31)$$

где  $a$  и  $b$  — заданные числа,  $c_0$  — произвольное положительное число. В самом деле,

$$2|ab| = 2 \left| (a \sqrt{c_0}) \left( \frac{b}{\sqrt{c_0}} \right) \right| \leq (a \sqrt{c_0})^2 + \left( \frac{b}{\sqrt{c_0}} \right)^2,$$

так как  $2|a_1 b_1| \leq a_1^2 + b_1^2$  при любых  $a_1$  и  $b_1$ .

Перейдем теперь к изучению вопроса об устойчивости схемы (3) по начальным данным и по правой части.

Напишем энергетическое тождество, соответствующее уравнению с однородными граничными условиями:

$$z_{\bar{i}} = \Lambda z^{(\sigma)} + \psi, \quad z_0 = z_N = 0, \quad z(x, 0) = z_0(x), \quad (32)$$

где

$$z^{(\sigma)} = \sigma z + (1 - \sigma) \check{z}.$$

Умножим уравнение на  $2\tau z_{\bar{i}}$ ,  $i h = 2(z_i - \check{z}_i) h$  и просуммируем по  $i = 1, 2, \dots, N-1$ :

$$2\tau \|z_{\bar{i}}\|^2 = 2\tau (\Lambda z^{(\sigma)}, z_{\bar{i}}) + 2\tau (\psi, z_{\bar{i}}), \quad \Lambda z = z_{\bar{x}x}. \quad (33)$$

Представляя  $z^{(\sigma)}$  в виде

$$z^{(\sigma)} = 0,5(z + \check{z}) + (\sigma - 0,5)(z - \check{z}) = 0,5(z + \check{z}) + (\sigma - 0,5)\tau z_i$$

и пользуясь первой формулой Грина (20) для  $a = 1$ ,  $y = \tau z_i = z - \check{z}$ ,  $v = z + \check{z}$  и  $a = 1$ ,  $y = v = z_i$ , имеем<sup>1)</sup>

$$\begin{aligned} 2\tau (\Lambda z^{(\sigma)}, z_i) &= -2(\sigma - 0,5)\tau^2 (z_{\check{x}\check{i}}, z_{\check{x}\check{i}}] - (z_{\check{x}} + \check{z}_{\check{x}}, z_{\check{x}} - \check{z}_{\check{x}}] = \\ &= -2(\sigma - 0,5)\tau^2 \|z_{\check{x}\check{i}}\|^2 - \|z_{\check{x}}\|^2 + \|\check{z}_{\check{x}}\|^2. \end{aligned}$$

Подставив это выражение в (33), получим энергетическое тождество:

$$2\tau [\|z_i\|^2 + (\sigma - 0,5)\tau \|z_{\check{x}\check{i}}\|^2] + \|z_{\check{x}}\|^2 = \|\check{z}_{\check{x}}\|^2 + 2\tau (\psi, z_i). \quad (34)$$

Отметим, что имеет место следующее неравенство:

$$\|v_{\check{x}}\|^2 \leq \frac{4}{h^2} \|v\|^2, \quad \text{если } v_0 = v_N = 0. \quad (35)$$

В самом деле, суммируя неравенство

$$v_{\check{x}, i}^2 = \frac{1}{h^2} (v_i - v_{i-1})^2 \leq \frac{2}{h^2} (v_i^2 + v_{i-1}^2)$$

по  $i = 1, 2, \dots, N$ , приходим к (35).

**4. Устойчивость.** Как было указано в § 1, п. 4, устойчивость схемы означает непрерывную зависимость решения разностной задачи от входных данных (от начальных данных, от правой части и от краевых условий в данном случае).

Выясним, при каких значениях параметра  $\sigma$  схема (3) устойчива по начальным данным и по правой части. Для этого рассмотрим задачу (32) с однородными краевыми условиями. Уточним понятие устойчивости.

Пусть решение задачи (32) оценивается по норме  $\|z\|_{(1)}$  (например,  $\|z\|_{(1)} = \|z\|_c$ ,  $\|z\|_{(1)} = \|z_{\check{x}}\|$ ), а правая часть  $\psi$  — по норме  $\|\psi\|_{(2)}$  (например,  $\|\psi\|_{(2)} = \|\psi\|_c$ ,  $\|\psi\|_{(2)} = \|\psi\|_2$ ).

Будем говорить, что схема (32) (или (3) — (4)) устойчива по начальным данным и по правой части, если при достаточно малых  $h \leq h_0$  и  $\tau \leq \tau_0$  имеет место неравенство

$$\max_{t \in \bar{\omega}_\tau} \|z(x, t)\|_{(1)} \leq M_1 \|z(x, 0)\|_{(1)} + M_2 \max_{t \in \bar{\omega}_\tau} \|\psi(x, t)\|_{(2)}, \quad (36)$$

где  $M_1$ ,  $M_2$  — положительные постоянные, не зависящие от  $h$  и  $\tau$ .

<sup>1)</sup>  $(\Lambda(z + \check{z}), z - \check{z}) = -(z_{\check{x}} + \check{z}_{\check{x}}, z_{\check{x}} - \check{z}_{\check{x}}]$ ,  $(\Lambda z_i, z_i) = -(z_{\check{x}\check{i}}, z_{\check{x}\check{i}}]$ .



Для устойчивости схемы (32) достаточно, чтобы выполнялось одно из условий

$$\|z\|_{(1)} \leq (1 + c_1\tau) \|\tilde{z}\|_{(1)} + c_2\tau \|\psi\|_{(2)}, \quad (37)$$

или

$$\|z\|_{(1)}^2 \leq (1 + c_1\tau) \|\tilde{z}\|_{(1)}^2 + c_2\tau \|\psi\|_{(2)}^2, \quad (38)$$

где  $c_1, c_2$  — положительные постоянные, не зависящие от  $h$  и  $\tau$ .

В самом деле, пусть выполнено условие (37). Запишем его в виде

$$\|z^j\|_{(1)} \leq (1 + c_1\tau) \|z^{j-1}\|_{(1)} + c_2\tau \|\psi^j\|_{(2)}, \quad (39)$$

$$j = 1, 2, \dots$$

Исключая из (39) последовательно  $\|z^{j-1}\|_{(1)}, \|z^{j-2}\|_{(2)}, \dots$  и учитывая, что  $(1 + c_1\tau)^j \leq e^{c_1 t_j}$  при  $j' \leq j$ , получим

$$\|z^j\|_{(1)} \leq e^{c_1 t_j} \left[ \|z(x, 0)\|_{(1)} + c_2 \sum_{j'=1}^j \tau \|\psi^{j'}\|_{(2)} \right]. \quad (40)$$

Отсюда следует (36) при  $M_1 = e^{c_1 T}$ ,  $M_2 = c_2 M_1 T$ . Предполагая, что выполнено (38), аналогичными рассуждениями приходим к неравенству вида (40), в котором следует заменить  $\|\cdot\|$  выражениями  $\|\cdot\|^2$ . В результате снова получим (36) с  $M_1 = e^{\frac{1}{2} c_1 T}$ ,  $M_2 = \sqrt{c_2} M_1$ .

Пользуясь тождеством (34) для схемы (32), мы установим неравенство вида (36), из которого и будет следовать, в силу сказанного выше, устойчивость схемы (3).

Чтобы выяснить вопрос об устойчивости по начальным данным, рассмотрим задачу (32) при  $\psi = 0$  и положим  $\|z\|_{(1)} = \|z_{\bar{x}}\|$ .

Тождество (34) при  $\psi = 0$  имеет вид

$$2\tau [\|z_i\|^2 + (\sigma - 0,5)\tau \|z_{\bar{x}i}\|^2] + \|z_{\bar{x}}\|^2 = \|\tilde{z}_{\bar{x}}\|^2. \quad (41)$$

Пусть  $\sigma \geq 0,5$ . Тогда выражение в квадратных скобках неотрицательно и

$$\|z_{\bar{x}}\|^2 \leq \|\tilde{z}_{\bar{x}}\|^2 \quad \text{или} \quad \|z_i^j\| \leq \|z_{\bar{x}}^{j-1}\| \leq \|z_{\bar{x}}^j\|.$$

Отсюда, в силу начального условия  $z^0 = z_0(x)$  следует, что

$$\|z^j\|_{(1)} \leq \|z_0\|_{(1)}, \quad \text{где} \quad \|z\|_{(1)} = \|z_{\bar{x}}\|. \quad (42)$$

Пусть  $\sigma < 0,5$ , так что  $\sigma - 0,5 < 0$ . Обозначая  $z_i = v$  и пользуясь (35), найдем

$$\begin{aligned} \|v\|^2 + (\sigma - 0,5)\tau \|v_{\bar{x}}\|^2 &\geq \|v\|^2 - (0,5 - \sigma)\tau \cdot \frac{4}{h^2} \|v\|^2 = \\ &= \left(1 - (0,5 - \sigma)\tau \cdot \frac{4}{h^2}\right) \|v\|^2 \geq 0 \end{aligned}$$

при

$$1 - (0,5 - \sigma)\tau \cdot \frac{4}{h^2} \geq 0,$$

т. е. при  $\sigma \geq \sigma_0 = \frac{1}{2} - \frac{h^2}{4\tau}$ . При этом условии выражение в квадратных скобках в (34) неотрицательно, и мы снова приходим к (42).

Таким образом, схема (32) (и схема (3)) устойчива по начальным данным в норме  $\|z\|_{(1)} = \|z_{\bar{x}}\|$ , если выполнено условие

$$\sigma \geq \frac{1}{2} - \frac{h^2}{4\tau} = \sigma_0. \quad (43)$$

Рассмотрим частные случаи. Если  $\sigma \geq \frac{1}{2}$ , то условие (43) всегда выполнено и схема (32) устойчива при любых  $h$  и  $\tau$ .

Для явной схемы  $\sigma = 0$  и условие (43) дает

$$\gamma = \frac{\tau}{h^2} \leq \frac{1}{2} \quad \text{или} \quad \tau \leq \frac{1}{2} h^2, \quad (44)$$

т. е. явная схема условно устойчива (устойчива при условии (44), связывающем  $\tau$  и  $h$ ). Можно показать, что при  $\gamma \geq \frac{1}{2} + c_1\tau^\alpha$ ,  $0 \leq \alpha < 1$ , явная схема неустойчива, т. е. условие  $\gamma < \frac{1}{2} + c_1\tau^\alpha$  является необходимым для устойчивости явной схемы ( $c_1 = \text{const} > 0$  — произвольная постоянная, не зависящая от  $h$  и  $\tau$ ).

Из (43) видно, что схема повышенного порядка точности ( $\sigma = \sigma_* = \frac{1}{2} - \frac{h^2}{12\tau}$ ), безусловно (при любых  $h$  и  $\tau$ ) устойчива, так как  $\sigma_* \geq \sigma_0$ .

Перейдем к оценке устойчивости схемы (32) по правой части. Будем исходить из тождества (34). Имеет место теорема:

*Разностная схема (32) устойчива по начальным данным и по правой части при*

$$\sigma \geq \frac{1}{2},$$

так что для решения  $z$  задачи (32) верна оценка

$$\|z_{\bar{x}}^i\| \leq \|z_{0\bar{x}}\| + \frac{1}{\sqrt{2}} \left( \sum_{j'=1}^i \tau \|\psi^{j'}\|^2 \right)^{1/2}. \quad (45)$$

Пользуясь неравенствами (26) и (31), имеем

$$2\tau(\psi, z_i) \leq c_0\tau \|z_i\|^2 + \frac{\tau}{c_0} \|\psi\|^2. \quad (46)$$

Если  $\sigma \geq 1/2$ , то мы получаем из (34) неравенство

$$2\tau \|z_i\|^2 + \|z_{\bar{x}}\|^2 \leq \|\check{z}_{\bar{x}}\|^2 + c_0\tau \|z_i^j\|^2 + \frac{\tau}{c_0} \|\psi\|^2.$$

Выбирая затем  $c_0 = 2$ , будем иметь

$$\|z_{\bar{x}}\|^2 \leq \|\check{z}_{\bar{x}}\|^2 + \frac{1}{2}\tau \|\psi\|^2.$$

Отсюда сразу следует

$$\|z_{\bar{x}}^j\|^2 \leq \|z_{0\bar{x}}\|^2 + \frac{1}{2} \sum_{j'=1}^j \tau \|\psi^{j'}\|^2.$$

Так как  $a^2 + b^2 \leq (a + b)^2$  при  $a \geq 0$ ,  $b \geq 0$ , то тем самым теорема доказана.

**З а м е ч а н и е.** Несколько изменяя рассуждения, можно показать, что теорема верна при  $\sigma \geq \sigma_\varepsilon = \frac{1}{2} - \frac{1-\varepsilon}{4\tau} h^2$ , где  $0 < \varepsilon \leq 1$ ; в (45) следует вместо  $\sqrt{2}$  написать  $\sqrt{2\varepsilon}$ . Сравнение с (36) показывает, что  $\|z\|_{(1)} \leq \|z_{\bar{x}}\|$ ,  $\|\psi\|_{(2)} = \|\psi\|$ ,  $M_1 = 1$ ,  $M_2 = \sqrt{\frac{T}{2\varepsilon}}$ .

Нетрудно получить оценку (36) с  $\|z\|_{(1)} = \|z\|$ ,  $\|\psi\|_{(2)} = \|\psi\|$  при  $\sigma \geq 1/2$ .

Ограничимся доказательством устойчивости по начальным данным. Положим в уравнении (32)  $\psi = 0$ , умножим его на  $2\tau z_i^{(\sigma)} h$  и просуммируем по  $i = 1, 2, \dots, N-1$ . Пользуясь формулой Грина (20) и тождеством  $2\tau(z^{(\sigma)}, z_i) = (z + \check{z}, z - \check{z}) + 2\tau(\sigma - 0,5)\|z_i\|^2 = \|z\|^2 - \|\check{z}\|^2 + 2\tau(\sigma - 0,5) \times \|z_i\|^2$ , получим  $\|z\|^2 + 2\tau^2(\sigma - 0,5)\|z_i\|^2 + 2\tau\|z_{\bar{x}}^{(\sigma)}\|^2 = \|\check{z}\|^2$ . Отсюда при  $\sigma \geq 0,5$  следует  $\|z\|^2 \leq \|\check{z}\|^2$  и  $\|z^j\| \leq \|z_0\|$ .

Эта оценка справедлива и при  $\sigma \geq \sigma_0$ . Однако мы не имеем возможности останавливаться на доказательстве этого факта.

Мы доказали устойчивость схемы (32) в нормах  $\|z_{\bar{x}}\|$  и  $\|z\|$ , являющихся разностными аналогами норм  $\left(\int_0^1 \left(\frac{\partial u}{\partial x}\right)^2 dx\right)^{1/2}$  и  $\left(\int_0^1 u^2 dx\right)^{1/2}$ . Пользуясь разностным аналогом принципа максимума, можно убедиться в том, что чисто неявная схема устойчива в равномерной метрике, т. е.

$$\|z\|_c \leq \|z_0\|_c \quad \text{при } \sigma = 1 \quad (\psi = 0). \quad (47)$$

Оказывается, что симметричная шеститочечная схема с  $\sigma = 0,5$  также равномерно устойчива при любых  $h$  и  $\tau$

$$\|z\|_c \leq M \|z_0\|_c \quad \text{при } \sigma = 0,5. \quad (48)$$

Рассмотрим явную схему ( $\sigma = 0$ ). Запишем ее в виде

$$y_i = (1 - 2\gamma) \check{y}_i + \gamma(\check{y}_{i-1} + \check{y}_{i+1}) + \tau \varphi_i.$$

Если  $\gamma \leq 1/2$ , то  $|y_i| \leq (1 - 2\gamma)|\check{y}_i| + \gamma(|\check{y}_{i-1}| + |\check{y}_{i+1}|) + \tau|\varphi_i| \leq \leq \|\check{y}\|_c + \tau\|\varphi\|_c$ , так как  $1 - 2\gamma \geq 0$ . Отсюда следует  $\|y\|_c \leq \leq \|\check{y}\|_c + \tau\|\varphi\|_c$  при  $\gamma \leq 1/2$  и

$$\|y^j\|_c \leq \|y_0\| + \sum_{j=1}^l \tau\|\varphi^j\|_c, \quad (49)$$

где  $\|y\|_c = \max_{\bar{\omega}_h} |y|$ . Таким образом, явная схема равномерно устойчива по начальным данным и по правой части, если выполнено условие  $\gamma \leq 1/2$ .

**5. Сходимость и точность.** Будем говорить, что:

1) решение задачи (3) — (4) сходится к решению  $u = u(x, t)$  задачи (1) (схема (3) — (4) сходится) при  $h \rightarrow 0$  и  $\tau \rightarrow 0$ , если  $\max_{0 \leq t_j \leq \tau} \|y^j - u^j\|_{(1)} \rightarrow 0$  при  $h \rightarrow 0$  и  $\tau \rightarrow 0$ ;

2) схема (3) — (4) сходится со скоростью  $O(h^m + \tau^n)$ ,  $m > 0$ ,  $n > 0$ , или имеет точность  $O(h^m + \tau^n)$  (порядка  $m$  по  $h$  и порядка  $n$  по  $\tau$ ), если при достаточно малых  $h \leq h_0$  и  $\tau \leq \tau_0$

$$\max_{0 \leq t_j \leq \tau} \|y^j - u^j\|_{(1)} \leq M(h^m + \tau^n),$$

где  $M = \text{const} > 0$  не зависит от  $h$  и  $\tau$ .

Характеристикой точности схемы (3) — (4) является  $\|z\|_{(1)} = \|y - u\|_{(1)}$ , где  $\|\cdot\|_{(1)}$  — одна из введенных выше норм. Функция  $z = z(x_i, t_{j+1})$  является решением задачи (5). Так как  $z(x, 0) = 0$ , то из (45) для  $z$  следует оценка

$$\|z'_k\| \leq \frac{1}{\sqrt{2}} \left( \sum_{j=1}^l \tau \|\psi^j\|^2 \right)^{1/2} \quad \text{при } \sigma \geq \frac{1}{2}. \quad (50)$$

Учитывая неравенство (28), получаем

$$\|z'\|_c \leq \frac{\sqrt{\tau}}{2\sqrt{2}} \max_{\bar{\omega}_\tau} \|\psi^j\| = M_2 \max_{\bar{\omega}_\tau} \|\psi^j\|. \quad (51)$$

Отсюда следует теорема:

*Из устойчивости по правой части и аппроксимации схемы (3) следует ее равномерная сходимость, причем порядок ее точности совпадает с порядком аппроксимации<sup>1)</sup>. Иными словами, если схема (3) устойчива по правой части, т. е.  $\sigma \geq 1/2$ , и выполнены условия, при которых схема (3) имеет максимальный порядок аппроксимации на решении  $u = u(x, t)$  (см. (12),*

<sup>1)</sup> См. В. С. Рябенский, А. Ф. Филиппов, Об устойчивости разностных уравнений, Гостехиздат, 1956.

(13)), то она имеет точность  $O(\tau^{m_\sigma} + h^2)$ , где  $m_\sigma = 2$  при  $\sigma = 0,5$ ,  $m_\sigma = 1$  при  $\sigma \neq 0,5$ :

$$\|y^j - u^j\|_c \leq M(h^2 + \tau^{m_\sigma}) \quad \text{при } \sigma \neq \sigma_*, \quad (52)$$

где  $M = \text{const} > 0$  не зависит от  $h$  и  $\tau$ .

Из п. 2 следует, что оценка (52) имеет место, если  $u \in C_2^{(4)}$ ,  $\varphi = f$  при  $\sigma \neq 0,5$ ,  $u \in C_3^{(4)}$ ,  $\varphi = \bar{f} = f^{j+1/2}$  при  $\sigma = 0,5$ .

Из неравенства (49) следует, что для явной схемы  $\|y^j - u^j\|_c \leq M(h^2 + \tau)$ , если  $u \in C_2^{(4)}$ .

**Замечание.** В силу замечания к теореме в п. 4 схема (3) при  $\sigma = \frac{1}{2} - \frac{h^2}{12\tau}$  имеет при  $u \in C_3^{(6)}$ ,  $f \in C_1^{(2)}$  точность  $O(h^4 + \tau^2)$ , если  $\varphi$  определяется по формуле (15).

**6. Разностные схемы для уравнений с переменными коэффициентами.** Перейдем теперь к изучению разностных схем для численного решения уравнения теплопроводности (диффузии) с переменными коэффициентами

$$c \frac{\partial u}{\partial t} = \frac{\partial}{\partial x} \left( k \frac{\partial u}{\partial x} \right) - qu + f, \quad k > 0, \quad c > 0, \quad (53)$$

где  $c = c(x, t)$ ,  $k = k(x, t)$ ,  $q = q(x, t)$ ,  $f = f(x, t)$  — заданные функции  $x$  и  $t$ . Если, например, коэффициент теплопроводности  $k = k(x, t, u)$  зависит от температуры  $u$ , то уравнение (53) называется квазилинейным. Квазилинейные уравнения допускают аналитические решения только в исключительных случаях. Развитие вычислительной техники и применение метода конечных разностей сделали возможным решение линейных и квазилинейных уравнений с переменными коэффициентами. При этом выявилась необходимость развивать методы, пригодные для решения по одним и тем же программам уравнений как с непрерывными, так и с разрывными коэффициентами.

Задачи с разрывными коэффициентами встречаются очень часто в физике и технике. Достаточно, например, указать задачи о диффузии нейтронов и о термическом режиме в гетерогенном реакторе, состоящем из большого числа зон с разными физическими свойствами, задачи о движении границ фазовых переходов (см. гл. III, приложение IV) и т. д. Для решения задач с разрывными коэффициентами используют схемы «сквозного счета», не использующие информации о положении точек разрыва. При этом во всех узлах сетки и для любых коэффициентов пишутся одни и те же формулы (без какого-либо изменения формул в окрестности разрывов).

Требования сходимости и точности схем сквозного счета накладывают ограничения на вид этих схем. Схемы, сходящиеся в случае разрывных коэффициентов, можно получить

при помощи метода баланса или интегро-интерполяционного метода.

**7. Метод баланса. Консервативные схемы.** Физические процессы, с которыми мы познакомились в курсе, характеризуются интегральными уравнениями сохранения (количества тепла, количества движения, энергии и т. д.). Так, например, закон сохранения тепла (уравнение баланса) на отрезке  $[x_1, x_2]$  за время  $\Delta t = t_2 - t_1$  имеет вид

$$\int_{x_1}^{x_2} c [u(x, t_2) - u(x, t_1)] dx = \\ = \int_{t_1}^{t_2} [W(x_1, t) - W(x_2, t)] dt + \int_{x_1}^{x_2} \int_{t_1}^{t_2} f(x, t) dx dt,$$

где  $u(x, t)$  — температура,  $c$  — теплоемкость единицы длины,  $f(x, t)$  — плотность источников тепла,  $W(x, t) = -k(x, t) \times \frac{\partial u}{\partial x}(x, t)$  — тепловой поток,  $k(x, t)$  — коэффициент теплопроводности. Если существуют непрерывные производные  $\frac{\partial u}{\partial t}$  и  $\frac{\partial}{\partial x} \left( k \frac{\partial u}{\partial x} \right)$ , то из уравнения баланса следует дифференциальное уравнение теплопроводности

$$c \frac{\partial u}{\partial t} = \frac{\partial}{\partial x} \left( k(x, t) \frac{\partial u}{\partial x} \right) + f(x, t).$$

Естественно при написании разностных уравнений, приближенно описывающих тот или иной процесс, исходить из уравнения баланса. Пусть дана сетка  $(x_i = ih, t_j = j\tau)$ . Для каждой элементарной ячейки (прямоугольника) этой сетки пишется уравнение баланса, которое содержит интегралы от функции и ее производных (потоки в случае уравнения баланса тепла) вдоль границы ячейки. Для их вычисления необходимы предположения о профиле функций. В зависимости от выбора локальной интерполяции как по  $x$ , так и по  $t$  мы получим различные схемы. Вопрос о выборе интерполяций подчинен требованиям устойчивости, точности и простоты реализации (в частности, требованию минимума арифметических операций, которые надо произвести для получения решения).

Проиллюстрируем метод баланса (интегро-интерполяционный метод) на примерах.

Сначала рассмотрим стационарное уравнение теплопроводности

$$\frac{d}{dx} \left( k(x) \frac{du}{dx} \right) - q(x)u = -f(x), \quad 0 < x < 1, \quad k > 0, \quad q \geq 0; \quad (54)$$

здесь  $q(x)u$  — мощность стоков тепла (при  $q \leq 0$  — источников), пропорциональная температуре  $u(x)$ .

Выберем на отрезке  $0 \leq x \leq 1$  сетку  $\bar{\omega}_h = \{x_i = ih, i = 0, 1, \dots, N\}$  с шагом  $h$ . Напишем уравнение баланса тепла на отрезке  $x_{i-1/2} \leq x \leq x_{i+1/2}$ ,  $x_{i-1/2} = \frac{1}{2}(x_{i-1} + x_i) = x_{i-1} + \frac{h}{2}$ :

$$W_{i-1/2} - W_{i+1/2} - \int_{x_{i-1/2}}^{x_{i+1/2}} q(x) u(x) dx + \int_{x_{i-1/2}}^{x_{i+1/2}} f(x) dx = 0, \quad (55)$$

где  $W(x) = -k(x) \frac{du}{dx}$  — поток тепла. Чтобы получить схему, заменим первый интеграл и  $W$  разностными выражениями. Возьмем простейшую аппроксимацию ( $u = \text{const} = u_i$  при  $x_{i-1/2} \leq x \leq x_{i+1/2}$ ):

$$\int_{x_{i-1/2}}^{x_{i+1/2}} q(x) u(x) dx \approx h d_i u_i, \quad d_i = \frac{1}{h} \int_{x_{i-1/2}}^{x_{i+1/2}} q(x) dx. \quad (56)$$

Проинтегрируем равенство  $\frac{du}{dx} = -\frac{W}{k}$  на отрезке  $x_{i-1} \leq x \leq x_i$ :

$$u_{i-1} - u_i = \int_{x_{i-1}}^{x_i} \frac{W}{k} dx.$$

Так как  $W$  входит в (55) в полуцелых точках  $x_{i \pm 1/2}$ , то, полагая  $W = \text{const} = W_{i-1/2}$  при  $x_{i-1} \leq x \leq x_i$ , будем иметь

$$u_{i-1} - u_i = W_{i-1/2} \int_{x_{i-1}}^{x_i} \frac{dx}{k(x)}$$

или

$$W_{i-1/2} = -a_i \frac{u_i - u_{i-1}}{h} = -a_i u_{\bar{x}, i}, \quad (57)$$

$$a_i = \frac{1}{x_i} \cdot \frac{1}{h} \int_{x_{i-1}}^{x_i} \frac{dx}{k(x)}. \quad (57')$$

Отметим, что  $\int_{x_{i-1}}^{x_i} \frac{dx}{k(x)}$  есть тепловое сопротивление отрезка  $[x_{i-1}, x_i]$ . Заменяя интеграл (57') по одной из формул

$$\frac{1}{h} \int_{x_{i-1}}^{x_i} \frac{dx}{k(x)} \approx \frac{1}{k_{i-1/2}}, \quad \frac{1}{h} \int_{x_{i-1}}^{x_i} \frac{dx}{k(x)} \approx \frac{1}{2} \left( \frac{1}{k_{i-1}} + \frac{1}{k_i} \right),$$

получим  $a_i = k_{i-1/2}$ ,  $a_i = \frac{2k_{i-1}k_i}{k_{i-1} + k_i}$  и т. д. Все эти коэффициенты отличаются друг от друга на величину  $O(h^2)$ . Подставляя в (55) выражения (56) и (57) и обозначая искомую функцию  $y_i$ , получим разностную схему, выражающую закон сохранения тепла на сетке (консервативную схему):

$$\frac{1}{h} \left[ \frac{a_{i+1}(y_{i+1} - y_i)}{h} - \frac{a_i(y_i - y_{i-1})}{h} \right] - d_i y_i = -\varphi_i, \quad (58)$$

которую можно написать в виде

$$(ay_{\bar{x}})_x - dy = -\varphi, \quad (58')$$

где

$$d_i = \frac{1}{h} \int_{x_{i-1/2}}^{x_{i+1/2}} q(x) dx, \quad \varphi_i = \frac{1}{h} \int_{x_{i-1/2}}^{x_{i+1/2}} f(x) dx. \quad (59)$$

Метод баланса, таким образом, позволяет получать схемы, коэффициенты которых во всех узлах сетки вычисляются по одним и тем же формулам как средние значения коэффициентов дифференциального уравнения в окрестности узла сетки.

Сами схемы (58) пишутся одинаково во всех узлах сетки и для любых  $k(x)$ ,  $q(x)$ ,  $f(x)$ . Такие схемы называются однородными. Для практических целей целесообразно находить коэффициенты схемы  $a$ ,  $d$ ,  $\varphi$  по более простым формулам, используя значения  $k$ ,  $q$ ,  $f$  в отдельных точках. При этом  $a$ ,  $d$ ,  $\varphi$  определяются как средние значения  $k$ ,  $q$ ,  $f$  в одной или нескольких точках

$$a(x) = \sum_{j=n_1}^{n_2} c_j k(x + s_j h), \quad -1 \leq s_j \leq 0, \quad \sum_{j=n_1}^{n_2} c_j = 1, \quad c_j \geq 0, \quad (60)$$

и аналогично для  $d$ ,  $\varphi$ . Совокупность точек  $\{s_j\}$  называется коэффициентным шаблоном.

Обычно используют шаблоны из одной или из двух точек, полагая, например,

$$a_i = k_{i-1/2}, \quad d_i = q_i, \quad \varphi_i = f_i, \quad (61)$$



если  $k, q, f$  непрерывны. Если  $k, q, f$  разрывны, то в этих формулах следует брать полусумму предельных значений слева и справа <sup>1)</sup>.

Схема (58) имеет второй порядок аппроксимации, если

$$\frac{a_i + a_{i+1}}{2} = k_i + O(h^2), \quad \frac{a_{i+1} - a_i}{h} = k'_i + O(h^2),$$

$$d_i = q_i + O(h^2), \quad \varphi_i = \dot{f}_i + O(h^2). \quad (62)$$

В самом деле, погрешность аппроксимации для схемы (58) на решении  $u = u(x)$  уравнения (54) равна

$$\psi_i = (\Lambda u - du + \varphi)_i = \frac{1}{h^2} [a_{i+1}(u_{i+1} - u_i) - a_i(u_i - u_{i-1})] - d_i u_i + \varphi_i.$$

Подставляя сюда

$$u_{i \pm 1} = u_i \pm hu'_i + \frac{h^2}{2} u''_i \pm \frac{h^3}{6} u'''_i + O(h^4)$$

и учитывая, что  $((ku')' - qu + f)_i = 0$ , получим

$$\psi_i = \left( \frac{a_{i+1} + a_i}{2} - k_i \right) u''_i + \left( \frac{a_{i+1} - a_i}{h} - k'_i \right) u'_i - (d_i - q_i) u_i + (\varphi_i - f_i).$$

Отсюда видно, что  $\psi = O(h^2)$ , если выполнены условия (62). Нетрудно убедиться в том, что коэффициенты  $a, d, \varphi$ , написанные выше, удовлетворяют этим условиям.

Таким образом, метод баланса приводит к однородным схемам 2-го порядка аппроксимации. Эти схемы сходятся в классе кусочно-непрерывных коэффициентов и имеют по крайней мере 1-й порядок точности (схема (58) с коэффициентами (57'), (59) — 2-й порядок).

Разностные схемы для уравнения (54) можно писать, исходя из требования 2-го порядка аппроксимации. Однако при этом может оказаться, что схема  $O(h^2)$  расходится в классе разрывных коэффициентов. Примером может служить схема

$$\Lambda y_i = k_i \frac{y_{i-1} - 2y_i + y_{i+1}}{h^2} + \frac{k_{i+1} - k_{i-1}}{2h} \cdot \frac{y_{i+1} - y_{i-1}}{2h} - q_i y_i = -f_i, \quad (63)$$

соответствующая уравнению  $(ku')' - qu = ku'' + k'u' - qu = -f$ . Имеется пример <sup>1)</sup> (при  $q = 0, f = 0, u(0) = 1, u(1) = 0$ ), показывающий, что решение уравнения (63) при  $h \rightarrow 0$  имеет пределом функцию  $\bar{u}(x)$ , не являющуюся решением исходной задачи.

<sup>1)</sup> См. А. Н. Тихонов, А. А. Самарский, Об однородных разностных схемах, Ж. вычисл. матем. и матем. физ. 1, № 1 (1961).

Если вопрос о сходимости схемы выяснить путем сгущения сеток (что часто делается на практике), то можно сделать ошибочный вывод о ее сходимости (она «сходится», но не к решению исходной задачи).

8. Двухслойные схемы для уравнения теплопроводности с переменными коэффициентами. Обратимся теперь к нестационарному уравнению теплопроводности (53). Для простоты положим  $c = 1$ ,  $q = 0$ . Напишем уравнение баланса для прямоугольника ( $x_{i-1/2} \leq x \leq x_{i+1/2}$ ,  $t_j \leq t \leq t_{j+1}$ ) (рис. 86):

$$\int_{x_{i-1/2}}^{x_{i+1/2}} [u(x, t_{j+1}) - u(x, t_j)] dx = \int_{t_j}^{t_{j+1}} [M(x_{i-1/2}, t) - W(x_{i+1/2}, t)] dt + \int_{x_{i-1/2}}^{x_{i+1/2}} \int_{t_j}^{t_{j+1}} f(x, t) dx dt, \quad (64)$$

где  $W = -k \frac{\partial u}{\partial x}$ . Возьмем простейшие формулы:

$$\int_{x_{i-1/2}}^{x_{i+1/2}} [u(x, t_{j+1}) - u(x, t_j)] dx \approx h [u(x_i, t_{j+1}) - u(x_i, t_j)], \quad (65)$$

$$\int_{t_j}^{t_{j+1}} [W(x_{i+1/2}, t) - W(x_{i-1/2}, t)] dt \approx \approx \tau \sigma [W_{i+1/2}^{j+1} - W_{i-1/2}^{j+1}] + \tau (1 - \sigma) [W_{i+1/2}^j - W_{i-1/2}^j], \quad (66)$$

где  $\sigma$  — произвольное число. Пользуясь для  $W_{i-1/2}$  формулой (57) и подставляя (65), (66) в (64), получим двухслойную консервативную схему

$$\frac{y^{j+1} - y^j}{\tau} = \sigma (\Delta y)_i^{j+1} + (1 - \sigma) (\Delta y)_i^j + \varphi_i^{j+1}, \quad (67)$$

$$\Delta y = (ay_{\bar{x}})_x, \quad \varphi_i^{j+1} = \frac{1}{h\tau} \int_{t_j}^{t_{j+1}} \int_{x_{i-1/2}}^{x_{i+1/2}} f(x, t) dx dt, \quad (68)$$

Рис. 86.

где  $a$  вычисляется (при фиксированном  $t$ ) по формулам предыдущего пункта, так что  $\Delta u = \frac{\partial}{\partial x} \left( k \frac{\partial u}{\partial x} \right) + O(h^2)$ . Для  $\varphi$  можно пользоваться и другими формулами, эквивалентными (68) с точностью до  $O(h^2 + \tau^2)$ . Если  $f$  — непрерывная функция, то полагаем  $\varphi_i^{j+1} = f_i^{j+1/2}$ .

По аналогии с п. 3 убеждаемся в том, что схема (67) имеет аппроксимацию  $O(h^2 + (\sigma - 1/2)\tau + \tau^2)$ . Если заменить  $\sigma(\Delta y)_i^{l+1} + (1 - \sigma)(\Delta y)_i^l$  выражением

$$\Lambda^{l+1/2}(\sigma y^{l+1} + (1 - \sigma)y^l) = (\Lambda^{l+1/2}(\sigma y_{\bar{x}}^{l+1} + (1 - \sigma)y_{\bar{x}}^l))_x,$$

то получим схему того же порядка точности:

$$\frac{y^{l+1} - y^l}{\tau} = \Lambda^{l+1/2}(\sigma y^{l+1} + (1 - \sigma)y^l) + \varphi^{l+1}$$

или

$$y_{\bar{i}} = \Lambda(\sigma y + (1 - \sigma)\dot{y}) + \varphi. \quad (69)$$

Так как уравнение баланса может быть написано для любой области  $G$  на плоскости  $(x, t)$ , ограниченной кривой  $\Gamma$ :

$$\int_{\Gamma} (cu \, dx + W \, dt) = \int \int_G f(x, t) \, dx \, dt,$$

то его можно использовать для получения консервативных разностных схем в случае тепловых задач с подвижными внутренними и внешними границами на произвольных неравномерных сетках.

Аналогично можно получить консервативные схемы для уравнений газодинамики, упругости и т. д. Во всех случаях необходимо у полученных разностных схем проверять порядок аппроксимации, устойчивость, сходимости и другие свойства, так как эти качества схемы не следуют из ее консервативности.

Метод баланса, или интегро-интерполяционный метод (см. ссылку на стр. 581), широко применяется на практике<sup>1)</sup>. Получающиеся при этом схемы сквозного счета сходятся в классе разрывных коэффициентов.

Рассмотрим теперь первую краевую задачу для уравнения теплопроводности в области  $(0 \leq x \leq 1, 0 \leq t \leq T)$

$$\left. \begin{aligned} \frac{\partial u}{\partial t} &= Lu + f(x, t), \quad 0 < x < 1, \quad t > 0, \quad Lu = \frac{\partial}{\partial x} \left( k \frac{\partial u}{\partial x} \right), \\ u(0, t) &= \mu_1(t), \quad u(1, t) = \mu_2(t), \quad u(x, 0) = u_0(x), \\ 0 &< c_1 \leq k(x, t) \leq c_2, \end{aligned} \right\} \quad (70)$$

где  $c_1, c_2 = \text{const.}$

<sup>1)</sup> См., например, Г. И. Марчук, Численные методы расчета ядерных реакторов, Атомиздат, 1958.

Для ее решения на сетке  $\bar{\omega}_{h\tau}$  (см. п. 1 § 1) воспользуемся двухслойной схемой (69), полученной методом баланса:

$$\left. \begin{aligned} y_{\bar{i}} &= \Lambda(\sigma y + (1 - \sigma)\dot{y}) + \varphi, \quad 0 < x = ih < 1, \quad t = j\tau > 0, \\ y(0, t) &= \mu_1(t), \quad y(1, t) = \mu_2(t), \quad t \in \bar{\omega}_\tau, \\ y(x, 0) &= u_0(x), \quad x \in \bar{\omega}_h, \end{aligned} \right\} \quad (71)$$

где  $\Lambda y = (a(x, t_{j+1/2})y_{\bar{x}})_x$  есть схема 2-го порядка аппроксимации по  $h$ .

Для определения  $y = y_i^{j+1}$  из (71) получаем краевую задачу:

$$\left. \begin{aligned} A_{i+1}y_{i+1} - C_i y_i + A_i y_{i-1} &= -F_i, \quad 0 < i < N, \\ y_0 &= \mu_1, \quad y_N = \mu_2, \end{aligned} \right\} \quad (72)$$

где  $A_i = \sigma \frac{\tau}{h^2} a_i$ ,  $C_i = A_i + A_{i+1} + 1$ , а  $F_i$  выражается через  $y^j$ .

Оценим погрешность аппроксимации схемы (71). Пусть  $y(x, t)$  — решение задачи (71), а  $u = u(x, t)$  — решение исходной задачи (70). Подставляя в (71)  $y^j = z^j + u^j$ , получим для разности  $z = y - u$  условия

$$\left. \begin{aligned} z_{\bar{i}} &= \Lambda(\sigma z + (1 - \sigma)\dot{z}) + \psi, \quad z_0 = z_N = 0, \\ z(x, 0) &= 0, \end{aligned} \right\} \quad (73)$$

где  $\psi = \Lambda(\sigma u + (1 - \sigma)\dot{u}) + \varphi - u_{\bar{i}}$  — погрешность аппроксимации для схемы (71) на решении  $u = u(x, t)$  уравнения (70).

Учитывая, что  $\Lambda u = Lu + O(h^2)$ ,  $\varphi = f^{j+1/2}$ ,  $u_{\bar{i}} = \left(\frac{\partial u}{\partial t}\right)^{j+1/2} + O(\tau^2)$ ,

$\sigma u + (1 - \sigma)\dot{u} = (u + (\sigma - 0,5)\tau\dot{u})^{j+1/2} + O(\tau^2)$ , получаем  $\psi = (\sigma - 1/2)\tau(L\dot{u})^{j+1/2} + O(\tau^2 + h^2)$ , если  $u(x, t)$  и  $k(x, t)$  — достаточно гладкие функции ( $u \in C_3^{(4)}$ ,  $k \in C_0^{(3)}$ ).

Отсюда видно, что симметричная схема ( $\sigma = 0,5$ ) имеет 2-й порядок аппроксимации по  $h$  и  $\tau$ .

Перейдем к исследованию устойчивости схемы (71) по начальным данным и по правой части. Так как  $\sigma z + (1 - \sigma)\dot{z} = 0,5(z + \dot{z}) + (\sigma - 0,5)\tau z_{\bar{i}}$ , то (73) можно записать в виде:

$$z_i - (\sigma - 0,5)\tau\Lambda z_{\bar{i}} - 0,5\Lambda(z + \dot{z}) = \psi, \quad z_0 = z_N = 0. \quad (74)$$

Будем предполагать, что

$$z(x, 0) = z_0(x), \quad (75)$$

$$0 < c_1 \leq a \leq c_2, \quad |a_i| \leq c_3 \quad \text{или} \quad |a - \dot{a}| \leq \tau c_3. \quad (76)$$

Действуя так же, как в п. 3, напишем энергетическое тождество для задачи (74) — (76), аналогичное тождеству (33):

$$2\tau \|z_i\|^2 - 2\tau^2(\sigma - 0,5)(\Lambda z_i, z_i) - (\Lambda(z + \check{z}), z - \check{z}) = 2\tau(\psi, z_i). \quad (77)$$

В силу формулы Грина (19) имеем  $-(\Lambda v, v) = (a, v_x^2)$ ,  $-(\Lambda(z + \check{z}), z - \check{z}) = (a(z_x + \check{z}_x), z_x - \check{z}_x) = (a, z_x^2) - (a, \check{z}_x^2)$ . Представляя затем  $a$  в виде  $a = \check{a} + (a - \check{a}) = \check{a} + \tau a_i$  и пользуясь условием  $|a_i| \leq c_3$ , будем иметь  $a \leq (1 + \tau c_4)\check{a}$ ,  $c_4 = c_3/c_1$ ,  $(a, z_x^2) \leq (1 + c_4\tau)(\check{a}, \check{z}_x^2)$ . Подставим эту оценку в (77):

$$2\tau [\|z_i\|^2 + (\sigma - 1/2)\tau(a, z_{xi}^2)] + (a, z_x^2) \leq (1 + c_4\tau)(\check{a}, \check{z}_x^2) + 2\tau(\psi, z_i). \quad (78)$$

Исследуем сначала устойчивость схемы (74) по начальным данным. Для этого положим в (78)  $\psi = 0$ . Покажем, что выражение в квадратных скобках  $\geq 0$  при  $\sigma \geq 0,5 - \frac{h^2}{4c_2\tau}$ . При  $\sigma \geq 0,5$  это очевидно. Пусть  $\sigma < 0,5$ . По аналогии с п. 4 находим  $\|v\|^2 - (0,5 - \sigma)\tau(a, v_x^2) \geq \|v\|^2 - (0,5 - \sigma)c_2\tau\|v_x\|^2 \geq \left(1 - (0,5 - \sigma)\frac{4c_2\tau}{h^2}\right)\|v\|^2 \geq 0$  при  $1 - (0,5 - \sigma)4c_2\tau h^{-2} \geq 0$  (здесь  $v = z_i$ ). Поэтому из (78) следует

$$\|z\|_{(1)}^2 \leq (1 + c_4\tau)\|\check{z}\|_{(1)}^2 \leq \left(1 + \frac{c_4\tau}{2}\right)^2\|\check{z}\|_{(1)}^2, \text{ где } \|z\|_{(1)}^2 = (a, z_x^2), \quad (79)$$

$$\|z^j\|_{(1)} \leq (1 + 0,5c_4\tau)\|z^{j-1}\|_{(1)} \leq \left(1 + \frac{c_4\tau}{2}\right)^j\|z^0\|_{(1)} \leq e^{0,5c_4\tau j}\|z_0\|_{(1)}. \quad (80)$$

Таким образом доказана теорема:

*Разностная схема (74) (или (71)) устойчива по начальным данным в норме  $\|z\|_{(1)} = \sqrt{(a, z_x^2)}$  при*

$$\sigma \geq \frac{1}{2} - \frac{h^2}{4c_2\tau}. \quad (81)$$

*В этом случае для решения задачи (74) — (76) при  $\psi = 0$  справедлива оценка*

$$\|z^j\|_{(1)} \leq M_1\|z_0\|_{(1)}, \text{ где } M_1 = e^{0,5c_4\tau}. \quad (82)$$

Из (81) следует, что явная схема ( $\sigma = 0$ )  $z_i = \Lambda\check{z}$  устойчива при  $\tau \leq h^2/2c_2$ , т. е. шаг по времени для устойчивости явной схемы должен быть тем меньше, чем больше максимум

коэффициента теплопроводности. Поэтому явные схемы нецелесообразно использовать для уравнений с переменными коэффициентами.

Докажем теорему:

Для решения разностной задачи (74)–(76) при  $\sigma \geq 0,5$  справедлива оценка

$$\max_{\bar{\omega}_\tau} \|z\|_{(1)} \leq M_1 \|z_0\|_{(1)} + M_2 \max_{\bar{\omega}_\tau} \|\psi\|, \quad (83)$$

где

$$\|z\|_{(1)} = \sqrt{(a, z_{\bar{x}}^2)}. \quad (84)$$

Обратимся к неравенству (78):

$$2\tau \|z_i\|^2 + (a, z_{\bar{x}}^2) \leq (1 + c_4\tau)(\check{a}, z_{\bar{x}}^2) + 2\tau(\psi, z_i) \quad \text{при } \sigma \geq 1/2. \quad (85)$$

Подставляя сюда оценку (46), получим (при  $c_0 = 2$ )

$$(a, z_{\bar{x}}^2) \leq (1 + c_4\tau)(\check{a}, z_{\bar{x}}^2) + \frac{\tau}{2} \|\psi\|^2.$$

Решив это неравенство (по аналогии с п. 4)

$$\|z^j\|_{(1)}^2 \leq M'_1 \left[ \|z_0\|_{(1)}^2 + \frac{\tau}{2} \sum_{j'=1}^j \|\psi^{j'}\|^2 \right], \quad M'_1 = e^{c_4\tau},$$

приходим к оценке (83).

Если учесть, что  $(a, z_{\bar{x}}^2) \geq c_1 \|z_{\bar{x}}\|^2 \geq 4c_1 \|z\|_c^2$ , то из (83) для решения задачи (73) получим

$$\max_{\bar{\omega}_\tau} \|z\|_c \leq M \max_{\bar{\omega}_\tau} \|\psi\|, \quad (86)$$

где

$$M = \sqrt{\frac{M'_1}{8c_1}}, \quad \|z\|_c = \max_{\bar{\omega}_h} |z|.$$

Тем самым доказана теорема: если схема (71) устойчива (при  $\sigma \geq 0,5$ ) и аппроксимирует уравнение (70), то она сходится, причем порядок ее точности совпадает с порядком аппроксимации.

Пусть сетка  $\bar{\omega}_h$  неравномерна,  $\bar{\omega}_h^* = (x_i, i = 0, 1, \dots, N)$ , ее шаг  $h_i = x_i - x_{i-1}$  зависит от  $i$ . Тогда в (71) вместо  $\Delta u$  следует подставить выражение (ср. п. 2 § 1, (15))

$$\Delta y_i = (ay_{\bar{x}})_{\delta, i} = \frac{1}{h_i} \left[ a_{i+1} \frac{y_{i+1} - y_i}{h_{i+1}} - a_i \frac{y_i - y_{i-1}}{h_i} \right], \quad \bar{h}_i = \frac{1}{2} (h_i + h_{i+1}). \quad (87)$$

Погрешность аппроксимации для  $\Lambda$  может быть представлена в виде

$$\psi_i = \Lambda u_i - Lu_i = \frac{1}{h_i} (\eta_{i+1} - \eta_i) + O(h_i^2 + h_{i+1}^2),$$

где  $\eta = O(h_i^2)$ , т. е.  $\|\psi\|_0 = O(h_0)$ ,  $\|\psi\|_2 = O(h)$ . Однако, как было показано в п. 2, для  $\|\psi\|_3$  верна оценка

$$\|\psi\|_3 = \left[ \sum_{i=1}^{N-1} h_i \left( \sum_{k=1}^i \tilde{h}_k \psi_k \right)^2 \right]^{1/2} = O(h_0^2), \quad \text{где } h_0 = \max h_i.$$

Схема может быть получена методом баланса.

Если коэффициент  $k(x, t)$  имеет разрыв 1-го рода на линии  $x = \text{const}$  (неподвижный разрыв) или  $x = \xi(t)$  (движущийся разрыв), то схема (71) по-прежнему сходится, однако порядок ее точности, вообще говоря, понижается. В случае неподвижного разрыва (при  $x = \text{const}$ ) целесообразно выбирать сетку так, чтобы точка разрыва  $x = \text{const}$  была узлом сетки  $\omega_h$ . Это приводит к неравномерным сеткам. Однако порядок точности (второй по  $h$ ) схемы (71) на такой сетке сохраняется и в случае разрывного  $k$ .

Оценка порядка точности в случае разрывных коэффициентов и неравномерной сетки значительно усложняется. При этом справедлива оценка вида (86), однако в правой части (86) вместо  $\|\psi\|$  стоит норма специального вида  $\|\psi\|_3$ , указанная выше.

До сих пор мы рассматривали краевые условия 1-го рода. Они удовлетворяются на сетке  $\omega_h$  точно, и поэтому точность разностной схемы определяется порядком аппроксимации уравнения. Краевые условия 3-го рода аппроксимируются приближенно. Естественно требовать, чтобы порядок их аппроксимации совпадал с порядком аппроксимации дифференциального уравнения.

Приведем разностные краевые условия 3-го рода без вывода<sup>1)</sup>.

Рассмотрим сначала краевую задачу

$$\begin{aligned} (ku)' - qu &= -f(x), \quad 0 < x < 1; \quad k(x) > 0, \quad q(x) \geq 0; \\ k(0)u'(0) &= \beta_1 u(0) - \mu_1; \quad -k(1)u'(1) = \beta_2 u(1) - \mu_2, \end{aligned} \quad (88)$$

где  $\beta_1 > 0$ ,  $\beta_2 > 0$ . Уравнение заменяется схемой (58), а условия при  $x = 0$ ,  $x = 1$  — разностными краевыми условиями 3-го рода:

$$a_1 y_{x,0} = \tilde{\beta}_1 y_0 - \tilde{\mu}_1, \quad -a_N y_{\bar{x},N} = \tilde{\beta}_2 y_N - \tilde{\mu}_2, \quad (89)$$

где  $a_1 = a(h)$ ,  $a_N = a(x_N) = a(1)$ ,  $\tilde{\beta}_1 = \beta_1 + 0,5 hq(0)$ ,  $\tilde{\beta}_2 = \beta_2 + 0,5 hq(1)$ ,  $\tilde{\mu}_1 = \mu_1 + 0,5 hf(0)$ ,  $\tilde{\mu}_2 = \mu_2 + 0,5 hf(1)$ . Эти условия аппроксимируют условия (88) на решении  $u = u(x)$  задачи (88) с порядком  $O(h^2)$ .

<sup>1)</sup> См. А. А. Самарский, Однородные разностные схемы для нелинейных уравнений параболического типа, Журн. вычисл. матем. и матем. физ. 2, № 1 (1962). Условия (89) и (92) могут быть получены методом баланса.

Разрешая (89) относительно  $y_0$  и  $y_N$ , получим удобную для вычислений запись краевых условий 3-го рода:

$$y_0 = \kappa_1 y_1 + \nu_1, \quad y_N = \kappa_2 y_{N-1} + \nu_2, \quad (90)$$

где  $\kappa_1 = a_1/(a_1 + h\bar{\beta}_1)$ ,  $\kappa_2 = a_N/(a_N + h\bar{\beta}_2)$ ,  $\nu_1 = h\bar{\mu}_1/(a_1 + h\bar{\beta}_1)$ ,  $\nu_2 = h\bar{\mu}_2/(a_N + h\bar{\beta}_2)$ .

Обратимся теперь к третьей краевой задаче для уравнения теплопроводности (70). Пусть при  $x = 0$ ,  $x = 1$  заданы условия:

$$\left. \begin{aligned} k \frac{\partial u}{\partial x} &= \beta_1(t) u - \mu_1(t) \quad \text{при } x = 0, \\ -k \frac{\partial u}{\partial x} &= \beta_2(t) u - \mu_2(t) \quad \text{при } x = 1. \end{aligned} \right\} \quad (91)$$

Разностные краевые условия 3-го рода в этом случае имеют вид

$$\left. \begin{aligned} a_1(\sigma y_{x,0} + (1-\sigma)\check{y}_{x,0}) &= 0,5hy_{i,0} + \beta_1(\sigma y_0 + (1-\sigma)\check{y}_0) - \bar{\mu}_1, \\ \bar{\mu}_1 &= \mu_1 + 0,5hf(0, t), \\ -a_N(\sigma y_{x,N} + (1-\sigma)\check{y}_{x,N}) &= 0,5hy_{i,N} + \beta_2(\sigma y_N + (1-\sigma)\check{y}_N) - \bar{\mu}_2, \\ \bar{\mu}_2 &= \mu_2 + 0,5hf(1, t), \end{aligned} \right\} \quad (92)$$

где  $a_1$ ,  $a_N$ ,  $\beta_1$ ,  $\beta_2$ ,  $\bar{\mu}_1$ ,  $\bar{\mu}_2$  берутся в момент  $t = t_{j+0,5}$ ,  $\sigma$  — параметр, входящий в уравнение (71). Они имеют тот же порядок аппроксимации  $O(h^2 + (\sigma - 0,5)\tau + \tau^2)$  на решении  $u = u(x, t)$  (уравнения (70) с условиями 91)), что и схема (71). Учитывая, что  $\check{y} = y^j$  известны для всех  $i = 0, 1, \dots, N$ , нетрудно привести (92) к счетному виду (90). Выражения для  $\kappa_1$ ,  $\kappa_2$ ,  $\nu_1$  и  $\nu_2$  не выписываем.

В результате для определения  $y = y^{j+1}$  получим разностное уравнение (72) с краевыми условиями (90).

**9. Трехслойные схемы.** Помимо двухслойных схем, рассмотренных в п. 8, для численного решения уравнения теплопроводности (70) используются трехслойные схемы, связывающие значения искомой функции  $y$  для трех моментов времени  $t = t_{j+1}$ ,  $t_j$ ,  $t_{j-1}$  (на трех слоях)<sup>1)</sup>.

Часто применяются трехслойные симметричные схемы)

$$\frac{y^{j+1} - y^{j-1}}{2\tau} = \Lambda(\sigma y^{j+1} + (1-2\sigma)y^j + \sigma y^{j-1}) + \varphi^j \quad (\varphi^j = f^j), \quad (93)$$

где  $\Lambda y = (a(x, t_j) y_x)_x$ . Они имеют погрешность аппроксимации  $O(h^2 + \tau^2)$  при любом  $\sigma$ .

<sup>1)</sup> См. Р. Д. Рихтмайер, Разностные методы решения краевых задач, ИЛ, 1960.



Для трехслойной схемы (93) помимо  $y(x, 0)$  необходимо задавать значение  $y(x, \tau)$  при  $t = \tau$ . Это можно сделать двумя способами: 1) используя формулу  $u(x, \tau) = u(x, 0) + \tau \frac{\partial u}{\partial t}(x, 0) + O(\tau^2)$  и уравнение (70), получаем  $y(x, \tau) = u_0(x) + \tau [Lu + f]_{t=0} = u_0(x) + \tau [(k(x, 0)u'_0)' + f(x, 0)]$ ; 2) использовать для определения  $y(x, \tau)$  двухслойную схему 2-го порядка точности:  $y_i^\tau = 0,5\Lambda(y + \check{y}) + \varphi$  при  $t = \tau$ . Итак, пусть заданы начальные условия

$$y(x, 0) = u_0(x), \quad y(x, \tau) = \bar{u}_0(x), \quad x \in \bar{\omega}_h. \quad (94)$$

При  $x = 0, x = 1$  ставятся краевые условия, например, 1-го рода.

Покажем, что схема (93) устойчива по начальным условиям и по правой части при

$$\sigma \geq 1/4. \quad (95)$$

Для этого рассмотрим однородные граничные условия  $y_0 = 0, y_N = 0$ . Введем обозначения  $y = y^{j+1}, \check{y} = y^j, \check{\check{y}} = y^{j-1}$  и перепишем схему (93) в виде

$$\frac{y - \check{y}}{2\tau} = \Lambda y^{(\sigma)} + \varphi, \quad y^{(\sigma)} = \sigma y + (1 - 2\sigma)\check{y} + \sigma\check{\check{y}}. \quad (96)$$

Умножим уравнение (96) на  $2\tau y_i^{(\sigma)} h$ , просуммируем по  $i = 1, 2, \dots, N-1$  и учтем тождества

$$(y - \check{y})y^{(\sigma)} =$$

$$= \left[ \frac{1}{2} (y^2 + \check{y}^2) + \left( \sigma - \frac{1}{2} \right) (y - \check{y})^2 \right] - \left[ \frac{1}{2} (\check{y}^2 + \check{\check{y}}^2) + \left( \sigma - \frac{1}{2} \right) (\check{y} - \check{\check{y}})^2 \right],$$

$$\frac{1}{2} (y^2 + \check{y}^2) = \frac{1}{4} (y + \check{y})^2 + \frac{1}{4} (y - \check{y})^2.$$

В результате будем иметь

$$\|y\|_{(1)}^2 + 2\tau (a, (y_{\check{x}}^{(\sigma)})^2) = \|\check{y}\|_{(1)}^2 + 2\tau (\varphi, y^{(\sigma)}), \quad (97)$$

где

$$\|y\|_{(1)}^2 = \frac{1}{4} \|y + \check{y}\|^2 + (\sigma - 1/4) \|y - \check{y}\|^2, \quad (98)$$

$$\|y\|_{(1)}^2 \geq \frac{1}{4} \|y - \check{y}\|^2 \quad \text{при} \quad \sigma \geq 1/4.$$

Пользуясь затем неравенствами

$$2\tau (\varphi, y^{(\sigma)}) \leq \tau c_0 \|y^{(\sigma)}\|^2 + \frac{\tau}{c_0} \|\varphi\|^2, \quad (a, (y_{\check{x}}^{(\sigma)})^2) \geq 4c_1 \|y^{(\sigma)}\|^2$$

и выбирая  $c_0 = 8c_1$ , получаем

$$\|y\|_{(1)}^2 \leq \|\check{y}\|_{(1)}^2 + \frac{\tau}{8c_1} \|\varphi\|^2. \quad (99)$$

Отсюда следует оценка

$$\|y^j\|_{(1)} \leq \|y(\tau)\|_{(1)} + \frac{1}{\sqrt{8c_1}} \left( \sum_{j'=1}^j \tau \|\varphi^{j'}\|^2 \right)^{1/2} \quad \text{при} \quad \sigma \geq 1/4. \quad (100)$$

Эта оценка позволяет доказать сходимость схемы (93), (94) со скоростью  $O(h^2 + \tau^2)$  при  $\sigma \geq 1/4$ .

Укажем еще одну трехслойную схему

$$\left. \begin{aligned} \frac{3}{2\tau}(y^{l+1} - y^l) - \frac{1}{2\tau}(y^l - y^{l-1}) &= \Lambda y^{l+1} + \varphi^{l+1}, \quad \varphi^{l+1} = f^{l+1}, \\ \Lambda y &= (a(x, t_{j+1}) y_x)_x. \end{aligned} \right\} \quad (101)$$

Она безусловно устойчива и имеет точность  $O(h^2 + \tau^2)$ . Для определения  $y^{l+1}$  из (101) получаем задачу (72) с

$$A_l = \frac{1}{h^2} a_l, \quad C_l = A_l + A_{l+1} + \frac{3}{2\tau}, \quad F_l = \varphi_l + \frac{4y_l^l - y_l^{l-1}}{\tau},$$

которая решается методом прогонки (см. п. 10).

Для уравнения гиперболического типа

$$\frac{\partial^2 u}{\partial t^2} = Lu + f, \quad Lu = \frac{\partial}{\partial x} \left( k(x, t) \frac{\partial u}{\partial x} \right), \quad (102)$$

$$u(0, t) = u_1(t), \quad u(1, t) = u_2(t), \quad u(x, 0) = u_0(x), \quad \frac{\partial u}{\partial t}(x, 0) = \bar{u}_0(x) \quad (103)$$

разностные схемы должны содержать не менее трех слоев. Симметричные схемы

$$\frac{y^{l+1} - 2y^l + y^{l-1}}{\tau^2} = \Lambda^l (\sigma y^{l+1} + (1 - 2\sigma)y^l + \sigma y^{l-1}) + f^l \quad (104)$$

имеют аппроксимацию  $O(h^2 + \tau^2)$  и устойчивы при

$$\sigma \geq \frac{1}{4} - \frac{h^2}{4\tau^2 c_2}.$$

В частности, явная схема ( $\sigma = 0$ ) условно устойчива при

$$\tau \leq \frac{h}{\sqrt{c_2}}.$$

Хотя все устойчивые схемы (104) имеют один и тот же порядок точности, но на реальных сетках, как показывают численные эксперименты, точность схемы увеличивается с уменьшением  $\sigma$ . Поэтому можно рекомендовать пользоваться безусловно устойчивыми схемами при  $\sigma = 1/4$ .

### 10. Решение систем разностных уравнений. Метод прогонки.

Неявные схемы для уравнения теплопроводности приводят к системе алгебраических уравнений для значения искомой функции  $y_i^{j+1}$  на новом слое  $t = t_{j+1}$ .

Эта система уравнений имеет вид

$$A_i y_{i-1} - C_i y_i + B_i y_{i+1} = -F_i, \quad 0 < i < N, \quad (105)$$

где  $F_i$  — заданная функция.

Для уравнения с постоянными коэффициентами

$$A_i = \sigma\gamma, \quad B_i = \sigma\gamma, \quad C_i = 1 + 2\sigma\gamma, \quad \gamma = \frac{\tau}{h^2}.$$

Для уравнения с переменными коэффициентами

$$A_i = \sigma \gamma a_i, \quad B_i = \sigma \gamma a_{i+1} = A_{i+1}, \quad C_i = A_i + A_{i+1} + 1.$$

В случае неравномерной сетки

$$A_i = \frac{\sigma a_i}{\bar{h}_i \bar{h}_i} \tau, \quad B_i = \frac{\sigma a_{i+1}}{\bar{h}_i \bar{h}_{i+1}} \tau, \quad C_i = A_i + B_i + 1.$$

Краевые условия 1-го и 3-го рода, рассмотренные нами в § 1 и § 2, можно записать в виде

$$y_0 = \kappa_1 y_1 + \nu_1, \quad y_N = \kappa_2 y_{N-1} + \nu_2. \quad (106)$$

При  $\kappa_1 = 0$ ,  $\kappa_2 = 0$  отсюда следуют условия 1-го рода  $y_0 = \nu_1$ ,  $y_N = \nu_2$ .

Итак, рассмотрим уравнение (105) с краевыми условиями (106) и предположим, что

$$\left. \begin{aligned} A_i > 0, \quad B_i > 0, \quad C_i \geq A_i + B_i \text{ или } C_i = A_i + B_i + D_i, \quad D_i \geq 0, \\ 0 \leq \kappa_\alpha < 1, \quad \alpha = 1, 2. \end{aligned} \right\} (107)$$

При этих условиях, как будет показано ниже, задача (105) — (106) разрешима. Для нахождения ее решения можно применять обычные методы линейной алгебры или методы итераций. Однако наиболее выгодным или экономичным по объему затрачиваемой работы является метод прогонки или метод факторизации<sup>1)</sup>, учитывающей специальный вид матрицы системы уравнений (105) — ее трехдиагональность.

Будем искать решение задачи (105) — (106) в виде

$$y_i = \alpha_{i+1} y_{i+1} + \beta_{i+1}, \quad i = 0, 1, 2, \dots, N-1, \quad (108)$$

где  $\alpha_i$  и  $\beta_i$  — неизвестные пока функции. Подставляя  $y_{i-1} = \alpha_i y_i + \beta_i$  в (105), исключим  $y_{i-1}$  и получим  $(A_i \alpha_i - C_i) y_i + B_i y_{i+1} + (A_i \beta_i + F_i) = 0$ , после чего при помощи (108) исключим  $y_i$ :

$$[(A_i \alpha_i - C_i) \alpha_{i+1} + B_i] y_{i+1} + [(A_i \alpha_i - C_i) \beta_{i+1} + (A_i \beta_i + F_i)] = 0.$$

Уравнение (105) будет удовлетворено, если выражения в квадратных скобках равны нулю. Из этих двух равенств находим рекуррентные формулы для определения  $\alpha_{i+1}$  и  $\beta_{i+1}$ :

$$\alpha_{i+1} = \frac{B_i}{C_i - A_i \alpha_i}, \quad \beta_{i+1} = \frac{A_i \beta_i + F_i}{C_i - A_i \alpha_i}, \quad i = 1, 2, \dots, N-1. \quad (109)$$

<sup>1)</sup> См. Г. И. Марчук, Численные методы расчета ядерных реакторов, Атомиздат, 1958; С. К. Годунов, В. С. Рябенский, Введение в теорию разностных схем, Физматгиз, 1962.

Сравнивая формулу  $y_0 = \alpha_1 y_1 + \beta_1$  с краевым условием (106) при  $i = 0$ , находим:

$$\alpha_1 = \kappa_1, \quad \beta_1 = \nu_1. \quad (110)$$

Решая (109) с начальными условиями (110), найдем  $\alpha_i, \beta_i, i = 1, 2, \dots, N$ . Чтобы пользоваться формулой (108), надо знать  $y_N$ .

Определим  $y_N$  через  $\alpha_N$  и  $\beta_N$  из краевого условия (106) при  $i = N$ . Исключая  $y_{N-1}$  из формул  $y_N = \kappa_2 y_{N-1} + \nu_2, y_{N-1} = \alpha_N y_N + \beta_N$ , находим:

$$y_N = \frac{\nu_2 + \kappa_2 \beta_N}{1 - \kappa_2 \alpha_N} \quad (111)$$

при условии, что  $1 - \kappa_2 \alpha_N \neq 0$ .

Покажем, что из условий (107) следует  $0 \leq \alpha_i < 1$  для всех  $i = 1, 2, \dots, N$ . Из формулы  $\alpha_{i+1} = B_i / [B_i + A_i(1 - \alpha_i) + D_i]$  видно, что  $0 < \alpha_{i+1} < 1$ , если  $0 \leq \alpha_i < 1$  и, следовательно,  $0 \leq \alpha_i < 1$  для  $i = 1, 2, \dots, N$ , так как  $\alpha_1 = \kappa_1 < 1$ . Таким образом,  $1 - \kappa_2 \alpha_N > 0$  при  $0 \leq \kappa_2 < 1$  и формула (111) имеет смысл.

Решение задачи (105) — (106) состоит из двух этапов: 1) по начальным данным (110) и формулам (109) последовательно определяются  $\alpha_i$ , затем  $\beta_i$  для  $i = 1, 2, \dots, N$  (счет идет слева направо — от  $i$  к  $i + 1$ ); 2) из (111) находится  $y_N$  и затем по формуле (108) последовательно (справа налево — от  $i + 1$  к  $i$ ) определяются  $y_{N-1}, y_{N-2}, \dots, y_1, y_0$ .

Счет по формулам (108) устойчив, так как  $0 \leq \alpha_i < 1$ .

Существует еще один вариант формул прогонки:

$$\xi_i = \frac{A_i}{C_i - B_i \xi_{i+1}}, \quad i = 1, 2, \dots, N-1, \quad \xi_N = \kappa_2; \quad (112)$$

$$\eta_i = \frac{B_i \eta_{i+1} + F_i}{C_i - B_i \xi_{i+1}}, \quad i = 1, 2, \dots, N-1, \quad \eta_N = \nu_2; \quad (113)$$

$$y_{i+1} = \xi_{i+1} y_i + \eta_{i+1}, \quad i = 1, 2, \dots, N-1, \quad y_0 = \frac{\nu_1 + \kappa_1 \eta_1}{1 - \kappa_1 \xi_1}. \quad (114)$$

Порядок счета: 1) по формулам (112) и (113) последовательно от  $i + 1$  к  $i$  (справа налево) определяется сначала  $\xi_i$ , затем  $\eta_i$  для  $i = N-1, N-2, \dots, 1, 0$ ; 2) по формулам (114) последовательно от  $i$  к  $i + 1$  (слева направо) находятся  $y_1, y_2, \dots, y_N$ .

Нетрудно убедиться в том, что число арифметических действий, производимых при решении задачи (105) — (106), пропорционально числу уравнений.

### 11. Разностные методы решения квазилинейных уравнений.

При изучении высокотемпературных процессов необходимо учитывать зависимость коэффициентов теплоемкости и тепло-

проводности от температуры. Мощность тепловых источников может также зависеть от температуры, если, например, тепло выделяется в результате химической реакции. В результате мы получаем для описания процесса распространения тепла квазилинейное уравнение теплопроводности

$$c(u) \frac{\partial u}{\partial t} = \frac{\partial}{\partial x} \left( k(u) \frac{\partial u}{\partial x} \right) + f(u), \quad c(u) > 0, \quad k(u) > 0. \quad (115)$$

В общем случае  $c = c(x, t, u)$ ,  $k = k(x, t, u)$ ,  $f = f(x, t, u)$ .

В неоднородной среде  $k$  и  $c$  могут быть разрывными функциями аргументов  $x$  и  $u$  (для разных веществ зависимость  $k$ ,  $c$  от температуры различна). Уравнение вида (115) встречается также при изучении проникновения магнитного поля в среду, коэффициент магнитной восприимчивости которой зависит от магнитного поля.

Уравнение (115) заменой искомой функции приводится к одному из видов

$$\frac{\partial u}{\partial t} = \frac{\partial}{\partial x} \left( k(u) \frac{\partial u}{\partial x} \right), \quad (116)$$

$$\frac{\partial \varphi(u)}{\partial t} = \frac{\partial^2 u}{\partial x^2} + f(u). \quad (117)$$

В самом деле, вводя, например, функцию  $v = \int_0^u c(u) du$ , получим для нее уравнение (116).

В настоящее время метод конечных разностей является единственным методом, позволяющим эффективно найти решение квазилинейных уравнений.

Рассмотрим простейшие двухслойные схемы для уравнения (115). Они могут быть получены методом баланса по аналогии с п. 7, если учесть, что  $W = -k(u) \frac{\partial u}{\partial x}$ .

Для квазилинейных уравнений использование явных схем нецелесообразно, если  $k(u)$  является быстроменяющейся (например, степенной) функцией, так как условие устойчивости

$$\tau \leq \frac{h^2}{2 \max k(u)}$$

требует очень мелкого шага  $\tau$  по времени. Поэтому применяются неявные схемы — линейные и нелинейные относительно  $y^{j+1}$ . В случае нелинейных схем применяются итерационные методы для нахождения  $y^{j+1}$ .

а) Неявные схемы с точностью  $O(h^2 + \tau)$ :

$$\frac{y_i^{j+1} - y_i^j}{\tau} = \frac{1}{h^2} [a_{i+1}(y^j)(y_{i+1}^{j+1} - y_i^{j+1}) - a_i(y^j)(y_i^{j+1} - y_{i-1}^{j+1})] + f(y_i^j), \quad (118)$$

$$\frac{y_i^{j+1} - y_i^j}{\tau} = \frac{1}{h^2} [a_{i+1}(y^{j+1})(y_{i+1}^{j+1} - y_i^{j+1}) - a_i(y^{j+1})(y_i^{j+1} - y_{i-1}^{j+1})] + f(y_i^{j+1}), \quad (119)$$

где

$$a_i(y) = k \left( \frac{y_{i-1} + y_i}{2} \right). \quad (120)$$

При  $x = 0$ ,  $x = 1$  ставятся краевые условия, например  $y_0 = u_1$ ,  $y_N = u_2$ .

Первая схема линейна относительно  $y_i^{j+1}$  — значения  $y$  на новом слое  $t = t_{j+1}$ . Решение разностной краевой задачи для  $y_i^{j+1}$  находится методом прогонки (см. п. 10).

Вторая схема (119) нелинейна относительно  $y_i^{j+1}$ . Для решения получающейся системы нелинейных уравнений применяются итерационные методы. Напишем уравнение для определения итераций  $y_i^{s+1}$  в случае простейшего итерационного метода

$$A_i^s y_{i-1}^{s+1} - C_i^s y_i^{s+1} + A_{i+1}^s y_{i+1}^{s+1} = -F_i^s, \quad (121)$$

где

$$A_i^s = \frac{\tau}{h^2} a_i^s(y), \quad C_i^s = A_i^s + A_{i+1}^s + 1, \quad F_i^s = y_i^j + \tau f^s(y_i^j),$$

$s = 0, 1, 2, \dots$  — номер итерации.

В качестве нулевого приближения обычно берут значение  $y_i^j$  с предыдущего слоя, полагая  $y_i^0 = y_i^j$ ; иногда применяют экстраполяцию с использованием  $y_i^{j-1}$  (если  $y_i^j$  как функция  $j$  монотонна). Решение уравнений (121) относительно  $y_i^{s+1}$  с крайними условиями при  $i = 0$ ,  $i = N$  1-го или 3-го рода находится методом прогонки (см. п. 10). Для окончания итераций используется условие  $\max_{1 \leq i \leq N-1} |y_i^{s+1} - y_i^s| < \varepsilon$  или же задается определенное число итераций. Обычно уже две-три итерации заметно повышают точность. Итерационные схемы (119) позволяют для обеспечения заданной точности использовать более крупный шаг по времени по сравнению с безитерационными схемами (118), что зачастую приводит к значительному уменьшению объема вычислительной работы.

б) Симметричная шеститочечная схема  $O(h^2 + \tau^2)$ :

$$\frac{y_i^{l+1} - y_i^l}{\tau} = \frac{1}{2} [(ay_{\bar{x}})_{x,i}^{l+1} + (ay_{\bar{x}})_{x,i}^l] + f\left(\frac{y_i^{l+1} + y_i^l}{2}\right), \quad (122)$$

где  $a_i = k\left(\frac{y_{i-1} + y_i}{2}\right)$ . Это нелинейная схема, и для определения  $y_i^{l+1}$  нужны итерации.

В случае слабой квазилинейности, когда  $k$  не зависит от  $u$ , а правая часть  $f(u)$  нелинейна, имеются безитерационные безусловно устойчивые схемы 2-го порядка точности.

Напишем такую схему (при  $k = \text{const} = 1$ ):

$$\frac{\bar{y} - y^j}{0,5\tau} = \Lambda \bar{y} + f(y^j), \quad \frac{y^{j+1} - y^j}{\tau} = 0,5\Lambda(y^{j+1} + y^j) + f(\bar{y}), \quad (123)$$

$$\Delta y = y_{\bar{x}x}$$

где  $\bar{y}$  — промежуточное значение. Сначала применяется с шагом  $0,5\tau$  и правой частью  $f(y^j)$  чисто неявная схема, затем с шагом  $\tau$  и правой частью  $f(\bar{y})$  — симметричная шеститочечная схема. В результате получается схема 2-го порядка точности по  $h$  и  $\tau$ .

Иногда для решения квазилинейных уравнений используются симметричные трехслойные схемы (93); в этом случае  $k(u)$  и  $f(u)$  берутся на шаге  $j$ . Однако предпочтения заслуживает нелинейная схема, аналогичная схеме (101).

**Пример.** Приведем результаты численных расчетов по схеме (119) для случая  $k(u) = \kappa_0 u^\sigma$ ,  $\kappa_0 > 0$ ,  $\sigma > 0$ ,  $f = 0$ . Уравнение

$\frac{\partial u}{\partial t} = \frac{\partial}{\partial x} \left( \kappa_0 u^\sigma \frac{\partial u}{\partial x} \right)$  имеет решения, производные которых в точках, где  $u = 0$  разрывны, а поток  $\kappa_0 u^\sigma \frac{\partial u}{\partial x}$  непрерывен, т. е. существует фронт температуры, который распространяется с конечной скоростью (рис. 87).

Примером такого решения является функция

$$u(x, t) = \begin{cases} [\sigma \kappa_0^{-1} (ct - x)]^{1/\sigma} & \text{при } x \leq ct, \\ 0 & \text{при } x \geq ct, \end{cases}$$

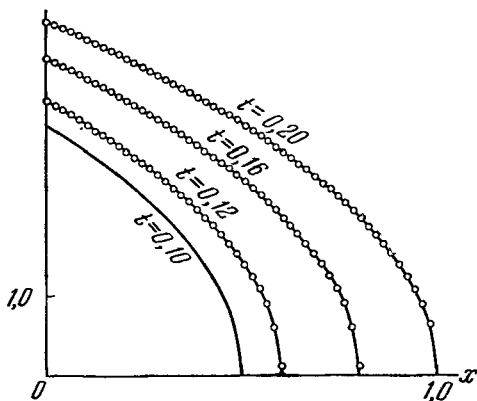


Рис. 87.

где  $c$  — скорость температурной волны. Эта функция является решением задачи

$$\frac{\partial u}{\partial t} = \frac{\partial}{\partial x} \left( \kappa_0 u^\sigma \frac{\partial u}{\partial x} \right), \quad x > 0, \quad t > 0,$$

$$u(x, 0) = 0, \quad u(0, t) = u_0 t^{1/\sigma}, \quad \text{где } u_0 = \left( \frac{\sigma c^2}{\kappa_0} \right)^{1/\sigma}.$$

Для этого примера по схеме (119) были проведены расчеты с параметрами  $\sigma = 2$ ,  $\kappa_0 = 0,5$ ,  $c = 5$ ,  $h = 0,2$  (число точек  $N = 50$ ) и шагом  $\tau = 2 \cdot 10^{-4}$ . Точное решение и результаты расчета нанесены на рис. 87. Всюду, кроме нескольких ближайших к фронту узлов, отклонение сосчитанного решения от точного не превосходит 0,02. Число итераций  $\nu \leq 3$  ( $\varepsilon = 10^{-3}$ ). Сплошная линия на рис. 87 — точное решение, кружки — расчетные точки<sup>1)</sup>.

Отметим, что схема (122) немонотонна и поэтому при расчете температурной волны дает худшие результаты по сравнению с монотонной схемой (119).

### § 3. Метод конечных разностей для решения задачи Дирихле

**1. Разностная аппроксимация оператора Лапласа.** Пусть на плоскости  $(x_1, x_2)$  задана область  $G$ , ограниченная замкнутой кривой  $\Gamma$ . Рассмотрим задачу Дирихле (см. гл. IV)

$$\Delta u = \frac{\partial^2 u}{\partial x_1^2} + \frac{\partial^2 u}{\partial x_2^2} = -f(x) \quad \text{в } G, \quad u|_{\Gamma} = \mu(x_1, x_2). \quad (1)$$

Для решения задачи (1) методом конечных разностей надо в области  $G + \Gamma$  ввести сетку и аппроксимировать на этой сетке уравнение и краевое условие.

Начнем с аппроксимации оператора Лапласа. Заменяем каждую из вторых производных  $\frac{\partial^2 u}{\partial x_1^2}$ ,  $\frac{\partial^2 u}{\partial x_2^2}$  разностными выражениями:

$$\frac{\partial^2 u}{\partial x_1^2} \sim \frac{u(x_1 + h_1, x_2) - 2u(x_1, x_2) + u(x_1 - h_1, x_2)}{h_1^2} = u_{\bar{x}_1 x_1} = \Lambda_1 u,$$

$$\frac{\partial^2 u}{\partial x_2^2} \sim \frac{u(x_1, x_2 + h_2) - 2u(x_1, x_2) + u(x_1, x_2 - h_2)}{h_2^2} = u_{\bar{x}_2 x_2} = \Lambda_2 u,$$

где  $h_\alpha$  — шаг по  $x_\alpha$ ,  $\alpha = 1, 2$ .

<sup>1)</sup> См. А. А. Самарский, И. М. Соболев, Примеры численного расчета температурных волн, Ж. вычисл. матем. и матем. физ. 3, № 4, 702—719 (1963).